黄芪多糖诱导成熟的树突状细胞肿瘤疫苗 体外抗肿瘤作用的实验研究

荆雪宁1,2 邱 波3 王金凤1 武永刚1 武继彪2 陈丹丹1

摘要 目的 探讨经黄芪多糖(astragalus polysacharin, APS)诱导成熟的树突状细胞(dendritic cell, DC)肿瘤疫苗体外抗肿瘤作用及其机制。方法 分离人外周血单个核细胞(peripheral blood mononuclear cell, PBMC),制备 DC 细胞,加入营养液体外诱导为未成熟的 DC 细胞,培养第5天,黄芪多糖组加入终浓度为100 μ g/mL 的黄芪多糖,细胞因子组加入终浓度为20 μ g/mL 重组人肿瘤坏死因子(rhTNF)-α诱导 DC 成熟,观察树突状细胞形态及表型变化;成熟 DC 以 SGC-7901 肿瘤抗原致敏,与同种异体 T细胞共培养,采用 MTT 法检测 T淋巴细胞增殖功能, ELISA 法检测共培养上清 IL-12、IFN- γ 水平;经 DC 激活的细胞毒性 T淋巴细胞(cytotoxic lymphocyte, CTL)细胞与 SGC-7901 肿瘤细胞共培养,采用 LDH 释放法检测 CLT 对靶细胞特异性杀伤能力。结果 黄芪多糖诱导的 DC 经形态学观察和表型鉴定,符合成熟 DC 的特征。黄芪多糖诱导成熟的 DC 能刺激同种异体 T淋巴细胞增殖,T细胞增殖指数随刺激细胞与效应细胞比值的增加而增加(P<0.05);DC 与 T细胞共培养上清 IL-12、IFN- γ 0 的水平显著增加且呈时间依赖性 (P<0.05);经致敏 DC 激活的 CTL 能显著杀伤肿瘤细胞,随着效靶比的增加,杀伤作用增强。结论 黄芪多糖可在体外诱导 DC 成熟,并促进其抗质递呈能力,有效活化 CTL,增强机体抗肿瘤功能。

关键词 黄芪多糖;树突状细胞;抗肿瘤;T细胞增殖;细胞因子

In vitro Anti-tumor Effect of Human Dendritic Cells Vaccine Induced by Astragalus Polysacharin: an Experimental Study JING Xue-ning^{1,2}, QIU Bo³, WANG Jin-feng¹, WU Yong-gang¹, WU Ji-bi-ao², and CHEN Dan-dan¹ 1 Department of Immunology, Shandong High Training School of Traditional Chinese Medicine, Shandong (264199), China; 2 College of Basic Medicine, Shandong University of Traditional Chinese Medicine, Jinan (250355), China; 3 Department of Gastroenterology, Yantai Laiyang Central Hospital, Shandong (265200), China

ABSTRACT Objective To explore the *in vitro* anti-tumor effect and mechanism of dendritic cell (DC) tumor vaccine induced by astragalus polysacharin (APS). Methods Peripheral blood mononuclear cells (PBMCs) isolated from human peripheral blood. DCs obtained from human peripheral blood were cultivated and added with culture solution for *in vitro* inducing them to immature DCs. On the 5th day of culture, 100 μ g/mL (as the final concentration) APS was added to cells in the APS group. DCs were induced to mature in the cytokine groups by adding 20 ng/mL rhTNF- α (as the final concentration). Changes of morphology and phenotype of DCs were observed. Mature DCs were sensitized with tumor antigen SGC-7901 and co-cultured with allogeneic T cells. The proliferative function of T lymphocytes was detected by MTT assay. Levels of IL-12 and IFN- γ in co-cultured supernatant were detected by ELISA. Cytotoxic lymphocytes (CTL) activated by DC were co-cultured with tumor cell SGC-7901. The specific killing capacity of CTL to target cells was detected by LDH release assay. Results The morphological observation and phenotypic identification of APS induced DCs were in accordance with the characteristics of ma-

基金项目:山东省高等学校科技计划项目(No. J09LF54)

作者单位:1.山东中医药高等专科学校免疫与病理教研室(山东 264199);2.山东中医药大学基础医学院(济南 250355);3.山东烟台市莱阳中心医院消化内科(山东 265200)

通讯作者:荆雪宁,Tel:0535-2765118, E-mail:Jingxuening@163.com

ture DCs. APS induced mature DCs could stimulate the proliferation of allogeneic T lymphocytes. The proliferation index of T cells increased with increased ratio of stimulator cells to effector cells (P < 0.05). Levels of IL-12 and IFN- γ in co-culture supernatant significantly increased in a time-dependent manner (P < 0.05). CTL cells activated by sensitization of DCs could significantly kill tumor cells, and the killing effect increased along with increased effector-to-target ratio. Conclusion APS could *in vitro* induce DCs to mature, promote its antigen-presenting capacity, effectively activate CTLs, and enhance anti-tumor function of the organism.

KEYWORDS astragalus polysacharin; dendritic cell; anti-tumor; T cell proliferation; cytokine

树突状细胞(dendritic cell, DC)是迄今发现的 功能最强大的专职抗原呈递细胞(antigen presenting cell.APC),捕获抗原后可有效递呈可溶性肿瘤 抗原,激活静息 T细胞,在特异性抗肿瘤细胞方面发挥 重要的作用^[1,2]。肿瘤组织及外周 DC 数量减少及功 能缺陷均可导致 DC 不能有效递呈肿瘤抗原,激活 T 淋巴细胞、诱导抗肿瘤免疫反应,促使肿瘤发生浸润、 转移^[3]。基于 DC 具有诱导初始免疫应答、增强机体特 异性抗肿瘤免疫反应的能力,选择 DC 作为肿瘤免疫治 疗的载体.制备 DC 肿瘤疫苗被认为是最具潜能的肿瘤 免疫治疗手段之一^[4]。黄芪多糖(astragalus polysacharin, APS) 是黄芪的主要活性成分之一, 其抗肿瘤和 免疫调节作用已在体内外实验中得到证实[5,6]。本研究 在预实验中曾观察 50、100、200 μg/mL 3 个不同剂量 的黄芪多糖对 DC 的诱导作用,发现 100 μg/mL 浓度 的黄芪多糖诱导的 DC 其形态和表型与肿瘤坏死因子 (TNF)- α 诱导的 DC 非常一致, 但其功能尚不明确。 本实验采用 100 μg/mL 黄芪多糖代替 TNF-α 诱导人 外周血来源的未成熟 DC,观察其对 DC 诱导成熟的 情况,体外观察经黄芪多糖诱导成熟的 DC 其提呈抗 原、活化T细胞的能力及经其活化的细胞毒性T淋巴 细胞(cytotoxic lymphocyte, CTL)对肿瘤细胞杀伤 活性的影响。

材料与方法

- 1 细胞系与人外周血来源 人胃癌细胞株 SGC-7901 购自南京凯基生物科技发展有限公司,用含 10% 小牛血清的 RPMI-1640 培养基常规培养。人外周血采自健康献血者。
- 2 药物、试剂与主要仪器 黄芪多糖购自于天津 赛诺制药有限公司,纯度 > 98%(生产批号: 120102)。RPMI-1640购自GIBCO公司(生产批号: 20120611),小牛血清购自杭州四季青生物制品有限公司(生产批号:20120314),胎牛血清(FCS)购自Hyclone公司(生产批号:NVM 0344),人淋巴细胞分

离液购自中国医学科学院生物工程研究所(生产批号:LTS1077),Hanks 液购于南京凯基生物科技发展有限公司(生产批号:20120312),MTT 购自 Sigma公司,DMSO 购自北京亚太精细化工公司。重组人粒细胞巨噬细胞集落刺激因子(rhGM-CSF)、rhlL-4、rhTNF-α 均购自 PeproTech 公司,IL-12、IFN-γELISA 试剂盒购自 RayBiotech 公司(生产批号:EL119334、EL119309),LDH 试剂盒购自上海酶联生物科技有限公司。3K-30 低温冷冻离心机(Sigma公司),IX51 + DP72 倒置荧光显微镜(Olympus 公司),Multiscan MK-3 多功能酶标仪(Finland Leibo公司),TU-1810 紫外分光光度计(北京普析通用仪器有限责任公司),SW-CJ-2FD 净化工作台(苏州净化设备厂)。

- 3 DC 的体外培养及诱导
- 3.1 人外周血单个核细胞(peripheral blood mononuclear cell,PBMC)的分离 采集正常人静脉外周血,采用 10~50 U/mL 肝素钠抗凝,加入等量Hanks 液稀释血液。按照稀释血液:淋巴细胞分离液2:1 的比例将稀释血液加入淋巴细胞分离液上,保持界面清晰。室温水平以2000 r/min 离心20 min。轻轻吸取上、中层界面处白色云雾层狭窄带,用 Hanks液洗涤细胞3次,第1次2000 r/min,10 min,第2、3次均为1500 r/min,10 min,分离获得 PBMC。
- 3.2 DC 的体外诱导及分组 参照文献[7],用含 10% FCS 的 RPMI 1640 培养液调节细胞浓度为 2×10^6 /mL。将调好的单核细胞加入 6 孔板,每孔加 2 mL,37 $^{\circ}$.5% CO₂ 培养箱培养。4 h 后用吸管轻轻吸出悬浮细胞,留取贴壁细胞即为单核细胞。 向各孔细胞加入含 rhGM-CSF (100 ng/mL)、rhIL-4 (100 ng/mL)、10% FCS 的 RPMI-1640 培养液2 mL,继续培养。第 2、4 天行半量换液,诱导成未成熟 DC。培养第 5 天,黄芪多糖组加入黄芪多糖(终浓度 100 μg/mL),细胞因子组加 rhTNF- α (终浓度20 ng/mL)作为阳性对照。

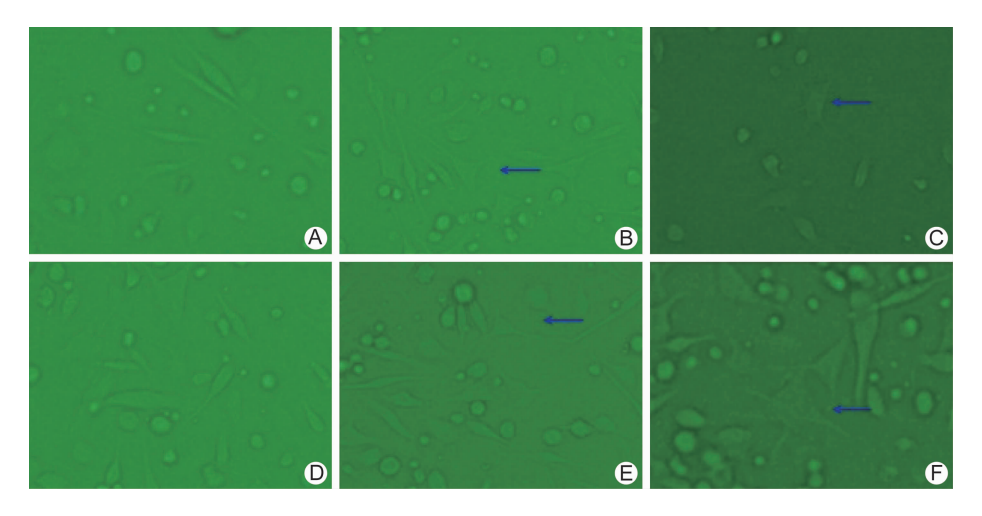
- 4 DC 的形态学观察和表型鉴定
- **4.1** 形态学观察 于倒置显微镜连续下观察细胞形态,并拍照记录。
- 4.2 DC 表型鉴定 收集培养第 7 天的各组细胞,调整细胞浓度为 1×10^6 /mL,向细胞中加入 FITC 标记的 CD80 和 PE 标记的 CD86 抗体,终浓度为 5 μ g/mL。4 $^{\circ}$ C避光保存 30 min。用 PBS 洗涤两次,采用流式细胞仪进行检测。
- 5 负载 SGC-7901 肿瘤抗原的 DC 制备 SGC-7901细胞常规培养。参照文献[8,9],收集对数生长期 SGC-7901 细胞,调整细胞浓度为 1 × 10⁸/mL,液氮反复冻融 4 次,制备成肿瘤完全抗原。各组 DC 培养的第 8 天,向培养体系加入 SGC-7901 肿瘤抗原 0.2 mL, DC 与肿瘤抗原的比例为 1:20 (抗原量按冻融前肿瘤细胞的量计)。第 9 天收集细胞,获得负载肿瘤抗原的 DC 疫苗,即致敏 DC。
- 6 T淋巴细胞增殖实验 采集另一健康人外周 血,分离 PBMC,用尼龙毛柱分离法获得 T细胞,将细 胞浓度调至 1×10⁵ 个/mL。致敏的 DC 计数,调整细 胞浓度为 1 × 10³ 、1 × 10⁴ 、1 × 10⁵ 个/mL。参照文献 [7], 向 96 孔板加入致敏 DC 和 T 细胞, 100 L/孔, 使刺激细胞与反应细胞比分别为 1:100、1:10、1:1, 每组设5个复孔,并设刺激细胞对照孔(只加致敏 DC 100 μL/孔) 和反应细胞对照孔(只加 T 细胞 100 μL/ 孔)。96 孔板置 5% CO₂,37 ℃培养箱培养 96 h。终 止培养前 6 h 向每孔加入 10 μL MTT(5 mg/mL),继 续培养6 h 后,以2000 r/min,离心10 min。弃上清 液,加入二甲基亚砜(dimethyl sulfoxide, DMSO) 150 μ L/孔。用酶标仪测定 A_{570} 各孔 OD 值,并计算细 胞增殖指数,公式如下:细胞增殖指数 = (实验组 OD 值-反应细胞对照组 OD 值-刺激细胞对照组 OD 值)/反应细胞对照组 OD 值。
- 7 致敏 DC 与 T细胞共培养上清 IL-12、IFN-γ的检测 DC 与 T细胞按 1:10 比例共同培养,于第 5 天和第 7 天分别收集培养上清,用 ELISA 试剂盒检测 IL-12、IFN-γ含量,操作按照试剂盒说明书进行。
- 8 采用 LDH 释放法检测致敏 DC 激活的 CTL对 SGC-7901 细胞的杀伤能力 将各组致敏 DC 与 T细胞按 1:10 比例共同培养,5 天后收集悬浮细胞,进行细胞计数,调节细胞浓度至 1×10^{8} 个/mL,为 CTL细胞悬液。取对数生长期 SGC-7901 细胞,调整细胞浓度分别为 1×10^{5} 、 5×10^{4} 、 2×10^{4} 个/mL。取 V 形

底的 96 孔板,加入 CTL 细胞和 SGC-7901 细胞各 100 μL,使其效靶比分别为 10:1、20:1、50:1,并设效应细胞自然释放组、靶细胞自然释放组、靶细胞最大释放孔、培养基背景孔。96 板置于5% CO₂、37 ℃培养箱培养4 h后,离心 10 min,2 500 r/min。从各孔取出 50 μL 上清移入新的圆形底 96 孔板对应孔中,每孔加入反应底物 50 μL,室温避光放置 30 min 后,加入终止液 50 μL/孔。用酶标仪测定各孔在波长 490 nm的吸光值,并计算杀伤率。公式如下:杀伤率(%)=(实验组 OD 值 – 效应细胞自然释放 OD 值 – 靶细胞自然释放 OD 值)/(靶细胞最大释放 OD 值 – 靶细胞自然释放 OD 值)×100%。

9 统计学方法 采用 SPSS 13.0 统计学软件 进行数据分析,计量资料以 $\bar{x} \pm s$ 表示,多组间比较采用单因素方差分析,组间两两比较用 SNK-q 检验,率的比较采用 χ^2 检验,P < 0.05 为差异有统计学意义。

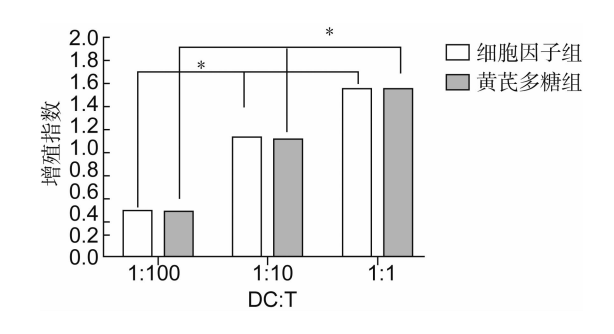
结 果

- 1 两组 DC 的形态学观察(图1) 分离的 PBMC 形态规则呈球形,透光度佳,细胞膜表面光滑。加入细胞因子后 2~3 天,细胞呈半贴壁生长,部分细胞悬浮,体积增大,形状不规则似星形、梭形,有少量突起。第 4 天可观察到细胞突起增多,体积继续增大,形状不规则,视野下可见大量细胞集落。培养至第 5 天,细胞变圆,有大量突起,可见不太规则的树突状外型。加入 TNF-α与黄芪多糖后,悬浮细胞增多,胞浆透明,胞体增大,有毛刺样突起,呈典型的 DC 形态。
- 2 DC 表型鉴定 细胞因子组、黄芪多糖组 DC 培养第7天细胞表面 CD80 表达率分别为 24.19%、61.60%; CD86 表达率分别为 76.32%、88.49%; CD80、CD86 双阳性细胞分别为 24.11%、59.53%,经黄芪多糖诱导成熟的 DC 其表面 CD80、CD86 表达率高于细胞因子组(P<0.05),为典型的成熟 DC表型特征。
- 3 两组 T 细胞增殖指数比较(图 2) 两组 T 细胞增殖指数比较,差异无统计学意义(*P* > 0.05)。两组 T 细胞增殖指数随着刺激细胞与效应细胞比值的增加而增加(*P* < 0.05)。
- 4 致敏 DC 与 T 细胞共培养上清 IL-12、IFN- γ 含量测定(表 1) 在培养的第 5、7 天,两组培养上清 IL-12、IFN- γ 水平比较,差异无统计学意义(P>0.05)。第 7 天两组 IL-12、IFN- γ 的含量明显高于第 5 天(P<0.05)。



注:A~C 为细胞因子组;D~F 为黄芪多糖组;A、D 为第 3 天 DC;B、E 为第 5 天 DC;C、F 为 第 7 天 DC;箭头所指为不同时间典型的 DC 细胞

图 1 两组 DC 形态观察 (×200)



注: 不同 DC: T 比例下组内比较, *P < 0.01 图 2 两组不同 DC: T 比例下 T 细胞增殖 指数比较 (n = 3)

表 1 致敏 DC 与 T 细胞共培养上清 IL-12、 IFN-γ 含量比较 (pg/mL, x̄±s)

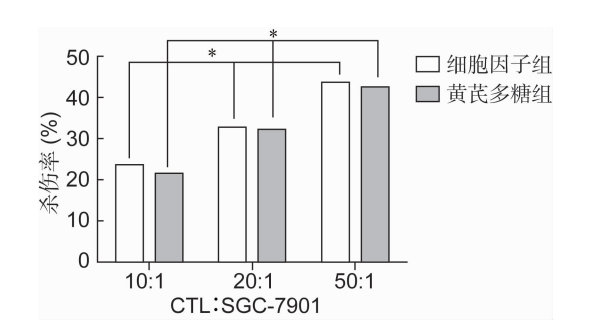
组别	n	IL-12		IFN-γ	
		第5天	第7天	第5天	第7天
细胞因子	2	164.91 ±2.35	178.25 ±4.83 *	767.25 ± 55.21	817.15 ±60.41 *
黄芪多糖	2	162.77 ±4.06	180.97 ±5.21 *	760.33 ± 60.31	808.25 ±50.23 *

注:与本组第5天比较,*P<0.05

5 不同效靶比下两组 CTL 对 SGC-7901 细胞的 杀伤率比较(图 3) 结果显示在同一效靶比时,两组 CTL 对靶细胞的杀伤率比较,差异无统计学意义(P > 0.05)。在不同效靶比时两组 CTL 对靶细胞的杀伤率 有差异(P < 0.01),随着效靶比的增加,杀伤作用增强,在效靶比为50:1时,杀伤作用最强。

讨 论

成熟 DC 表面高表达 MHC 分子及共刺激分子如 CD40、CD80 和 CD86,能有效地向 T 细胞提呈抗原,促进 T 细胞活化,发挥免疫功能。肿瘤组织中 DC 表型的改变是导致其功能减弱的直接原因,有研究发现,



注:不同效靶比下组内比较,*P<0.01 图 3 不同效靶比下两组 CTL 对 SGC-7901 细胞的杀伤率比较 (n=2)

肿瘤及其周围组织浸润的 DC 表面 CD80、CD86 等共刺激分子无表达或低表达^[10],致使 DC 无法有效提呈抗原,激发混合淋巴细胞反应及抗原特异性 CTL 反应^[11]。体外获取 DC 前体细胞,以细胞因子诱导和促进成熟,以肿瘤抗原体外致敏获得负载肿瘤抗原的致敏 DC,然后回输给机体,可诱导机体产生有效的抗肿瘤免疫应答,是肿瘤免疫治疗的一种有效方法^[12]。本研究以黄芪多糖代替 TNF-α 诱导 DC 成熟,以 TNF-α 诱导组为阳性对照,探讨经黄芪多糖对 DC 表型及免疫功能的影响,为进一步开拓中药治疗肿瘤的途径提供实验和理论依据。

本研究在前期试验的基础上,以 100 μg/mL 黄芪 多糖诱导未成熟 DC,形态学观察结果显示胞体增大,有 毛刺样突起,呈典型的 DC 形态。CD80 和 CD86 的表 达水平是判断 DC 成熟状态的重要标志^[13]。DC 为 T 细胞提呈抗原时通过其表面的 CD80、CD86 等共刺激分子识别 T 细胞表面的相应配体产生协同刺激信号。缺乏共刺激信号可能导致 T 细胞无法激活甚至发生凋

亡。本研究结果显示,经 100 μ g/mL 黄芪多糖诱导后,DC 细胞表面 CD80、CD86 的表达高于 TNF- α 组,提示 黄芪多糖可有效诱导 DC 表达协同刺激分子,有利于 DC 提呈抗原。既往实验证实,成熟的 DC 可在体内外 有效地活化同种异体 T 细胞^[14]。黄芪多糖诱导的 DC 对异基因外周血 T 淋巴细胞的增殖有明显刺激作用,提示黄芪多糖可促进 DC 成熟,增强 DC 抗原提呈功能,特异性激活 T 细胞,产生细胞免疫。

IL-12 是诱导 Th1 免疫反应的关键调节因子, IFN-v则可增强 DC 的抗原提呈功能,同时提高 CTL 对 肿瘤细胞识别杀伤功能^[15,16]。本研究经 SGC-7901 肿 瘤抗原致敏的 DC 与同种异体 T细胞共培养后,干培养 的第5、7 天检测培养上清 IL-12、IFN-γ表达水平。结果 显示, 黄芪多糖组 IL-12、IFN-v 的表达与细胞因子组比 较,差异无统计学意义,随着 DC 与 T 细胞共培养时间 的增加.IL-12、IFN-v 水平呈增加趋势,表明黄芪多糖诱 导成熟的 DC 能有效地提呈抗原给 T 细胞, 促使 T 细胞 分泌抗肿瘤细胞因子 IFN-y;活化 T 细胞的同时也促进 DC 分泌 IL-12, 而 IL-12 又可进一步促进 T 细胞的增 殖,并诱导 Th0 向 Th1 分化,增强细胞免疫应答功能。 CTL 细胞即细胞毒性 T 淋巴细胞,是机体抗肿瘤免疫的 主要效应细胞。本研究结果提示,经黄芪多糖诱导成熟 的 DC 激活的 CTL 能特异性地杀伤靶细胞,且杀伤能 力随着效靶比的增加而增加,与细胞因子组比较,差异 无统计学意义,提示黄芪多糖诱导成熟的 DC 能有效提 呈抗原并活化 CTL。

本研究结果提示, 黄芪多糖可诱导未成熟 DC 成熟, 增强 DC 表面共刺激分子的表达, 以利于其抗原提呈和激活 T细胞; 经黄芪多糖诱导成熟的 DC 可有效地向 T细胞提呈抗原, 相互活化, 增加 IL-12、IFN-γ的分泌, 增强细胞免疫功能; 经黄芪多糖诱导成熟的 DC 激活的 CTL 可有效杀伤肿瘤细胞, 发挥抗肿瘤作用, 为中药参与肿瘤生物治疗提供理论依据。

参考文献

- [1] Sender LY, Gibbert K, Suezer Y, et al. CD40 ligand triggered human dendritic cells mount interleukin-23 responses that are further enhanced by danger signals [J]. Mol Immunol, 2010, 47 (6): 1255-1261.
- [2] Villablanca EJ, Raccosta L, Zhou D, et al. Tumor-mediated liver X receptor-alpha activation inhibits CC chemokine receptor-7 expression on dendritic cells and dampens antitumor responses [J]. Nat Med, 2010, 16(1): 98 – 105.

- [3] Yilmaz T, Gedikoglu G, Celik A, et al. Prognostic significance of Langerhans cell infiltration in cancer of the larynx[J]. Otolaryngol Head Neck Surg, 2005, 132(2): 309 –312.
- [4] Nouri-Shirazi M, Banchereau J, Fay J, et al. Dendritic cell based tumor vaccines [J]. Immunol Lett. 2000. 74(1): 5-10.
- [5] Cho WC, Leng KN. *In vitro* and *in vivo* immuno-modulating and immunorestorative effects of *Astragalus membranaceus* [J]. J Ethonpharmacol, 2007, 113(1): 132 –141.
- [6] 赵晓宁, 弥海宁,李兴文,等. 黄芪多糖联合化疗对 54 例中晚期胃癌的临床疗效分析[J]. 中国中医基础医学杂志, 2012, 18(9): 994-996.
- [7] 邓旻,窦晓兵,史亦谦,等. 黄芪多糖定向诱生脐血来源 树突状细胞及其对 T 细胞增殖作用的研究[J]. 中国 免疫学杂志,2007,6(23):539-544.
- [8] 唐华,银平章,孔令非,等.冻融抗原冲击致敏的树突 状细胞对结肠癌小鼠的治疗作用[J].中国肿瘤生物治 疗杂志,2000,7(3):199-202.
- [9] Gronau S, Schmitt M, Riechelmann H. Dendritic cells pulsed with tumor derived lysate augment T cell mediated tumor cell lysis [J]. Otolaryngol Head Neck Surg, 2004, 131(2): 176-177.
- [10] Zhu KJ. Dendritic cell and autoimmune diseases [J]. J Zhejiang Univ: Med Sci, 2003, 32(1): 81-84.
- [11] Dmitry I, Sorena N, Jadranko C, et al. Dendritic cells grown from bone marrow precursors, but not mature DC from tumor-bearing mice, are effective antigen carriers in the therapy of established tumor [J]. Cell Immunol, 1996, 170(1): 111-114.
- [12] Pecher G, Spahn G, Schirrmann T, et al. Mucin gene (MUC1) transfer into human dendritic cells by cationic liposomes and recombinant adenovirus[J]. Anticancer Res, 2001, 21(4A): 2591 –2596.
- [13] Jiang H, van de Ven C, Baxi L, et al. Differential gene expression signatures of adult peripheral blood vs cord blood monocyte-derived immature and mature dendritic cells [J]. Exp Hematol, 2009, 37(10); 1201 1215.
- [14] 于哲,马保安,周勇,等. 异体树突状细胞融合瘤苗抗骨肉瘤的免疫效应实验[J]. 肿瘤防治研究,2006,33 (11):779-783.
- [15] Ferrantini M, Capone I, Belardelli F. Dendritic cells and cytokines in immune rejection of cancer [J]. Cytokine Growth Factor Rev, 2008, 19 (1): 93-107.
- [16] Tatsumi T, Takehara T, Yamaguchi S, et al. Injection of IL-12 gene-transduced dendritic cells into mouse liver tumor lesions activates both innate and acquired immunity[J]. Gene Ther, 2007, 14 (11): 863 871.

(收稿:2013-04-15 修回:2014-06-20)